

## РЕШЕНИЕ ЗАДАЧ ТЕОРЕТИЧЕСКОГО ТУРА

**Внимание: баллы в оценках не делятся!**

**Задача 1 (10.0 балла)**

**Задача 1.1 (3.0 балла)**

Пусть ось  $x$  направлена вниз, а начальное положение центра масс рулона соответствует началу координат. Если скорость центра масс рулона в некоторый момент времени равна  $v$ , то его кинетическая энергия составляет

$$E_k = \frac{m}{L}(L-x)v^2. \quad (1)$$

С другой стороны, потенциальная энергия рулона относительно начального положения равна

$$E_p = -\frac{m}{L}g\frac{x^2}{2} - \frac{m}{L}g(L-x)x. \quad (2)$$

В начальный момент времени полная энергия равна нулю, поэтому по закону сохранения

$$E_k + E_p = 0, \quad (3)$$

откуда получаем зависимость скорости центра масс рулона от координаты

$$v^2(x) = g \left[ x + \frac{x^2}{2(L-x)} \right]. \quad (4)$$

Ускорение рулона определяется выражением

$$a(x) = \frac{dv}{dt} = v \frac{dv}{dx}, \quad (5)$$

которое после подстановки (4) дает следующую зависимость

$$a(x) = \frac{g}{4} \left[ 1 + \frac{L^2}{(L-x)^2} \right]. \quad (6)$$

Полный импульс рулона направлен вдоль оси  $x$  и равен

$$p = \frac{m}{L}(L-x)v, \quad (7)$$

а значит изменение импульса со временем принимает вид

$$\frac{dp}{dt} = -\frac{m}{L}v^2 + \frac{m}{L}(L-x)a. \quad (8)$$

По условию задачи сила, действующая на платформу со стороны рулона, равна силе тяжести, а значит на сам рулон полная внешняя сила равна нулю, откуда получаем

$$\frac{dp}{dt} = 0. \quad (9)$$

Решая совместно (4), (6), (8) и (9), получаем квадратное уравнение

$$x + \frac{x^2}{2(L-x)} = \frac{1}{2} \left( L + \frac{x^2}{2(L-x)} \right), \quad (10)$$

положительный корень которого равен

$$x_0 = \frac{3-\sqrt{3}}{3}L = 4.23 \text{ м.} \quad (11)$$

После подстановки в (4) и (6), соответственно находим

$$v(x_0) = \frac{\sqrt{gL}}{\sqrt[4]{3}} = 7.52 \text{ м/с,} \quad (12)$$

$$a(x_0) = g = 9.80 \text{ м/с}^2. \quad (13)$$

| Содержание   | Баллы |
|--|-------|
| Формула (1): $E_k = \frac{m}{L}(L-x)v^2$                                 | 0.2   |
| Формула (2): $E_p = -\frac{m}{L}g\frac{x^2}{2} - \frac{m}{L}g(L-x)x.$    | 0.2   |
| Формула (3): $E_k + E_p = 0$   | 0.1   |
| Формула (4): $v^2(x) = g \left[ x + \frac{x^2}{2(L-x)} \right]$          | 0.2   |
| Формула (5): $a(x) = \frac{dv}{dt} = v \frac{dv}{dx}$                    | 0.2   |
| Формула (6): $a(x) = \frac{g}{4} \left[ 1 + \frac{L^2}{(L-x)^2} \right]$ | 0.2   |
| Формула (7): $p = \frac{m}{L}(L-x)v$                                     | 0.2   |
| Формула (8): $\frac{dp}{dt} = -\frac{m}{L}v^2 + \frac{m}{L}(L-x)a$       | 0.2   |

|  |            |
|--|------------|
| Формула (9): $\frac{dp}{dt} = 0$   | 0.2        |
| Формула (10): $x + \frac{x^2}{2(L-x)} = \frac{1}{2} \left( L + \frac{x^2}{2(L-x)} \right)$ | 0.1        |
| Формула (11): $x_0 = \frac{3-\sqrt{3}}{3} L$   | 0.2        |
| Численное значение в формуле (11): $x_0 = 4.23$ м  | 0.2        |
| Формула (12): $v(x_0) = \frac{\sqrt{gL}}{\sqrt[4]{3}}$                                     | 0.2        |
| Численное значение в формуле (12): $v(x_0) = 7.52$ м/с                                     | 0.2        |
| Формула (13): $a(x_0) = g$   | 0.2        |
| Численное значение в формуле (13): $a(x_0) = 9.80$ м/с <sup>2</sup>                        | 0.2        |
| <b>Итого</b>   | <b>3.0</b> |

### Задача 1.2 (4.0 балла)

В начальный момент времени  $t = 0$  конденсатор не заряжен и падения напряжения на подключенных сопротивлениях одинаково, то есть они соединены параллельно, поэтому

$$\frac{1}{R_0} = \frac{1}{R} + \frac{1}{r}, \quad (1)$$

а показания омметра составляют

$$R_0 = R(0) = A - B. \quad (2)$$

В момент времени  $t = \infty$  конденсатор полностью заряжен и ток через него не течет, поэтому

$$R_\infty = r, \quad (3)$$

а показания омметра составляют

$$R_\infty = R(\infty) = A, \quad (4)$$

Решая совместно (1)-(4), получаем

$$r = 100 \text{ кОм}, \quad (5)$$

$$R = 150 \text{ кОм}. \quad (6)$$

В произвольный момент времени падение напряжения  $U_r$  на сопротивлении  $r$  равно падению напряжения  $U_R$  на сопротивлении  $R$  и падению напряжения  $U_C$  на конденсаторе  $C$ , то есть

$$U_r = U_R + U_C. \quad (7)$$

С другой стороны по закону Ома

$$U_R = I_c R, \quad (8)$$

$$U_r = I_r r, \quad (9)$$

где  $I_r$  – сила тока, протекающего через резистор  $r$ , а  $I_c$  – сила тока, протекающего через конденсатор  $C$  и сопротивление  $R$ .

Падение напряжения на конденсаторе равно

$$U_C = \frac{q}{C}. \quad (10)$$

Отметим, что зарядка конденсатора происходит вследствие протекания тока  $I_0$ , генерируемого омметром, то есть

$$I_0 = I_r + I_c, \quad (11)$$

а ток, протекающий через конденсатор, равен производной его заряда по времени

$$I_c = \frac{dq}{dt}. \quad (12)$$

Из уравнений (7)-(12), получаем дифференциальное уравнение для  $q$

$$\frac{dq}{dt} + \frac{q}{\tau_0} = I_0 \frac{r}{R+r}. \quad (13)$$

решение которого дает силу тока через конденсатор

$$I_c = I_0 \frac{r}{R+r} e^{-t/\tau_0}. \quad (14)$$

Здесь  $\tau_0 = C(R + r)$ .

Таким образом, емкость конденсатора равна

$$C = \frac{\tau_0}{R+r} = 400 \text{ мкФ}. \quad (15)$$

Количество выделяемой на резисторе теплоты определяется законом Джоуля-Ленца и равно

$$Q = \int_0^\infty I_c^2 R dt = \frac{I_0^2 r^2 R \tau_0}{2(R+r)^2} = 12 \text{ мДж.} \quad (16)$$

Отметим, что в принципе нет необходимости рассматривать отдельно уравнения (1)-(4), для нахождения неизвестных сопротивлений достаточно найти зависимость  $R(t)$ , которая имеет вид

$$R(t) = \frac{U_r}{I_0} = r - \frac{r^2}{R+r} e^{-t/\tau_0}. \quad (17)$$

| Содержание   | Баллы      |
|--|------------|
| Формула (1): $\frac{1}{R_0} = \frac{1}{R} + \frac{1}{r}$             | 0.2        |
| Формула (2): $R_0 = R(0) = A - B$                                    | 0.2        |
| Формула (3): $R_\infty = r$  | 0.2        |
| Формула (4): $R_\infty = R(\infty) = A$                              | 0.2        |
| Формула (5): $r = 100 \text{ кОм}$                                   | 0.2        |
| Формула (6): $R = 150 \text{ кОм}$                                   | 0.2        |
| Формула (7): $U_r = U_R + U_C$                                       | 0.2        |
| Формула (8): $U_R = I_c R$   | 0.2        |
| Формула (9): $U_r = I_r r$   | 0.2        |
| Формула (10): $U_C = \frac{q}{C}$                                    | 0.2        |
| Формула (11): $I_0 = I_r + I_C$ ,                                    | 0.2        |
| Формула (12): $I_C = \frac{dq}{dt}$                                  | 0.2        |
| Формула (13): $\frac{dq}{dt} + \frac{q}{\tau_0} = I_0 \frac{r}{R+r}$ | 0.2        |
| Формула (14): $I_C = I_0 \frac{r}{R+r} e^{-t/\tau_0}$                | 0.4        |
| Формула (15): $C = \frac{\tau_0}{R+r}$                               | 0.2        |
| Численное значение в формуле (15): $C = 400 \text{ мкФ}$             | 0.2        |
| Формула (16): $Q = \frac{I_0^2 r^2 R \tau_0}{2(R+r)^2}$              | 0.4        |
| Численное значение в формуле (16): $Q = 12 \text{ мДж}$              | 0.2        |
| <b>Итого</b>   | <b>4.0</b> |

### Задача 1.3 (3.0 балла)

Действительное изображение с меньшим угловым размером  $\varphi_1$  сформировалось в результате отражения на границе «воздух-стекло» на вогнутой поверхности линзы как от вогнутого зеркала с радиусом кривизны  $r$  на расстоянии, равном фокусному расстоянию  $F_1$  зеркала

$$\frac{1}{F_1} = \frac{2}{r}, \quad (1)$$

а значит изображение расположено от наблюдателя на расстоянии

$$a_1 = L - F_1. \quad (2)$$

Пусть  $\varphi_0$  – видимый угловой размер уличного фонаря с места расположения линзы. Тогда линейный размер изображения фонаря в фокусе равен

$$l_1 = \varphi_0 F_1, \quad (3)$$

а значит угловой размер видимого изображения

$$\varphi_1 = \frac{l_1}{a_1}. \quad (4)$$

Второе изображение с большим угловым размером  $\varphi_2$  – это мнимое изображение фонаря, которое сформировалось в результате отражения на границе «стекло-воздух» от выпуклой поверхности линзы. Учитывая то, что лучи, сформировавшие это изображение, дважды прошли через рассеивающую линзу с оптической силой  $D$ , а фокусное расстояние выпуклой поверхности составляет  $\frac{R}{2}$ , то фокусное расстояние системы равно

$$-\frac{1}{F_2} = 2D + \frac{2}{R}, \quad (5)$$

а само изображение расположено от наблюдателя на расстоянии

$$a_2 = L + F_2. \quad (6)$$

Линейный размер изображения фонаря в фокусе равен

$$l_2 = \varphi_0 F_2, \quad (7)$$

а значит угловой размер видимого изображения

$$\varphi_2 = \frac{l_2}{a_2}. \quad (8)$$

По условию  $\gamma = \varphi_1 / \varphi_2$ , откуда получаем

$$D = \frac{\gamma+1}{2L} - \frac{1}{R} - \frac{\gamma}{r} = -4 \text{ дптр.} \quad (9)$$

| Содержание  | Баллы      |
|---|------------|
| Формула (1): $\frac{1}{F_1} = \frac{2}{r}$                              | 0.2        |
| Формула (2): $a_1 = L - F_1$  | 0.2        |
| Формула (3): $l_1 = \varphi_0 F_1$                                      | 0.4        |
| Формула (4): $\varphi_1 = \frac{l_1}{a_1}$                              | 0.4        |
| Формула (5): $-\frac{1}{F_2} = 2D + \frac{2}{R}$                        | 0.2        |
| Формула (6): $a_2 = L + F_2$  | 0.2        |
| Формула (7): $l_2 = \varphi_0 F_2$                                      | 0.4        |
| Формула (8): $\varphi_2 = \frac{l_2}{a_2}$                              | 0.4        |
| Формула (9): $D = \frac{\gamma+1}{2L} - \frac{1}{R} - \frac{\gamma}{r}$ | 0.2        |
| Численное значение в формуле (9): $D = -4$ дптр                         | 0.4        |
| <b>Итого</b>  | <b>3.0</b> |

## Задача 2. Паровой двигатель (10.0 балла)

### Часть 1. Паровой двигатель без регулятора

**2.1** Запишем уравнение адиабатного процесса

$$PV^\gamma = const \quad (1)$$

Применяя к процессу 2-3, получаем

$$\eta = \left( \frac{P_A}{P_0} \right)^{\frac{1}{\gamma}} = 0.177. \quad (2)$$

**2.2** Для определения начальной температуры уравнение адиабаты надо записать в координатах  $(T, V)$   
 $TV^{\gamma-1} = const,$  (3)

которое, повторно применяя к процессу 2-3, приводит к следующей формуле

$$T_0 = \frac{T_S}{\eta^{\gamma-1}} = 390 \text{ } ^\circ\text{C}. \quad (4)$$

**2.3** Уравнения состояния идеального газа для точки 2 имеет вид

$$P_0 \eta V_0 = \frac{m_0}{M} RT_0, \quad (5)$$

которое дает

$$m_0 = M \frac{P_0 \eta V_0}{RT_0} = 2.30 \text{ г}, \quad (6)$$

**2.4** На участке 1-2 работа пара равна

$$A_{1-2} = P_0 \eta V_0, \quad (7)$$

а на участке 2-3 работа на адиабате составляет

$$A_{2-3} = P_0 V_0 \frac{\eta - \eta^\gamma}{\gamma - 1}. \quad (8)$$

На участке 3-4 работа отрицательна и равна

$$A_{3-4} = -P_A V_0, \quad (9)$$

поэтому суммарная работа составляет

$$A_0 = P_0 V_0 \left( \eta + \frac{\eta - \eta^\gamma}{\gamma - 1} \right) - P_A V_0 = 1.25 \cdot 10^3 \text{ Дж.} \quad (10)$$

**2.5** Рабочий объем достигает максимального значения за половину оборота махового колеса, поэтому средняя скорость изменения объема равна

$$v = \frac{V_0}{\pi/\omega} = \frac{V_0\omega}{\pi}. \quad (11)$$

**2.6** Установим связь между давлением в цилиндре и массой пара в нем. Для этого запишем уравнение адиабатного процесса

$$P_0 V_{in}^\gamma = P V^\gamma, \quad (12)$$

где  $V_{in}$  – объем, который занимал пар в генераторе, до того, как он поступил в рабочий цилиндр. Для него справедливо уравнение состояния

$$P_0 V_{in} = \frac{m}{M} R T_0. \quad (13)$$

Тогда давление в цилиндре выражается через массу пара в нем из уравнения адиабатного процесса (12) и уравнения состояния (13) в виде

$$P = P_0 \left( \frac{R T_0}{M P_0} \frac{m}{v t} \right)^\gamma, \quad (14)$$

где  $V = vt$  – изменяющийся рабочий объем.

С учетом заданного в условии уравнения, получаем искомое уравнение для массы пара в цилиндре имеет вид

$$\frac{dm}{dt} = K(P_0 - P) = K P_0 \left( 1 - \left( \frac{R T_0}{M P_0} \frac{m}{v t} \right)^\gamma \right). \quad (15)$$

**2.7** Решением уравнения (15), очевидно, является линейная функция

$$m \propto t, \quad (16)$$

а значит в соответствии с формулой (14) давление пара в цилиндре остается постоянным.

**2.8** В соответствии с (15) масса газа растет по линейному закону

$$m = K(P_0 - P)t, \quad (17)$$

поэтому из уравнения (15) и соотношения  $V = vt$  получаем, что давление газа должно удовлетворять уравнению

$$P = P_0 \left( \frac{R T_0}{M P_0} \frac{\pi K(P_0 - P)}{V_0 \omega} \right)^\gamma. \quad (18)$$

**2.9** Теперь используем приближение  $\gamma \approx 1$ , что позволяет получить формулу для давления в явном виде

$$P = \frac{P_0}{1 + \frac{M V_0 \omega}{\pi K R T_0}}. \quad (19)$$

**2.10** Численное значение давления при указанных параметрах равно

$$P = 9.10 \cdot 10^5 \text{ Па}. \quad (20)$$

**2.11** Работа, совершаемая двигателем за один цикл, может быть рассчитана по формуле (10), в которой давление  $P_0$  следует заменить на значение  $P$ , определяемое формулой (19), что приводит к следующему выражению

$$A = P_0 V_0 \frac{\frac{\eta + \eta - \eta^\gamma}{\gamma - 1}}{1 + \frac{M V_0 \omega}{\pi K R T_0}}. \quad (21)$$

Таким образом, параметры этой формулы равны

$$A_0 = P_0 V_0 \left( \eta + \frac{\eta - \eta^\gamma}{\gamma - 1} \right) = 1.44 \cdot 10^3 \text{ Дж}, \quad (22)$$

$$\beta = \frac{M V_0}{\pi R T_0} = 4.16 \cdot 10^{-9} \text{ м} \cdot \text{с}^2. \quad (23)$$

**2.12** В установившемся режиме работа пара за цикл равна работе, совершаемой над рабочим устройством

$$\frac{A_0}{1 + \beta \frac{\omega}{K}} = 2\pi M_0. \quad (24)$$

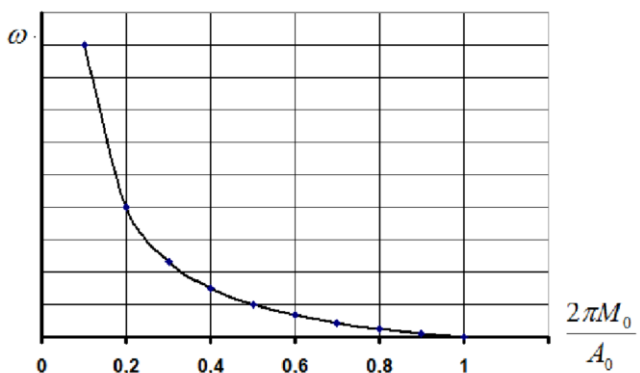
Отсюда следует, что средняя угловая скорость установившегося движения равна

$$\omega = \frac{K}{\beta} \left( \frac{A_0}{2\pi M_0} - 1 \right). \quad (25)$$

**2.13** Из формулы (25) следует, что максимальный момент равен

$$M_{0max} = \frac{A_0}{2\pi} = 230 \text{ Н} \cdot \text{м}. \quad (26)$$

**2.14** Схематический график зависимости показан на рисунке ниже.



### Часть 2. Регулятор без двигателя

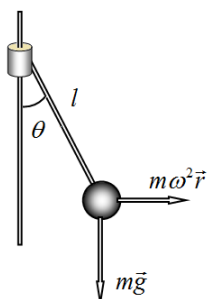
2.15 Проще данную часть задачи решать во вращающейся системе отсчета. В состоянии равновесия момент силы тяжести уравновешивается моментом центробежной силы

$$mgl \sin \theta = m\omega^2 l^2 \sin \theta \cos \theta. \quad (27)$$

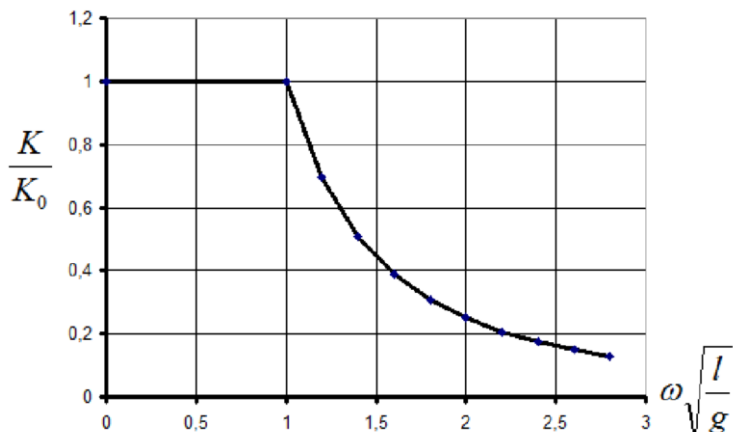
Отсюда следует, что угол отклонения определяется формулой

$$\cos \theta = 1, \quad \omega < \sqrt{\frac{g}{l}}, \quad (28)$$

$$\cos \theta = \frac{g}{\omega^2 l}, \quad \omega \geq \sqrt{\frac{g}{l}}. \quad (29)$$



2.16 График зависимости показан на рисунке ниже.

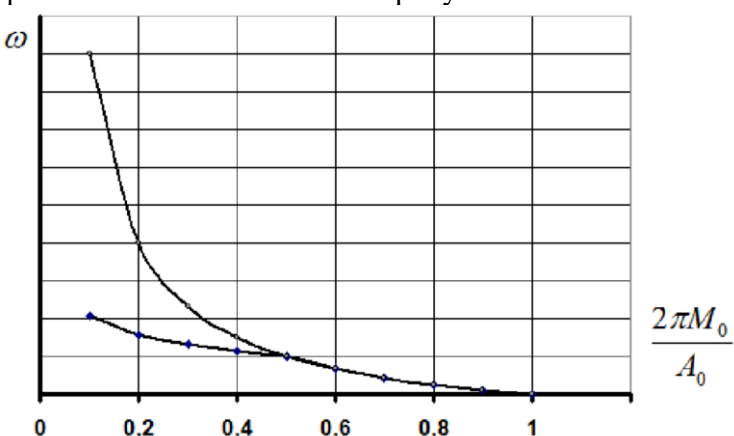


### Часть 3. Двигатель с регулятором

2.17 Учитывая, что  $K = K_0 \cos \theta$  и принимая во внимание (19), получаем после подстановки в (25)

$$\omega = \sqrt[3]{\frac{K_0 g}{\beta l} \left( \frac{A_0}{2\pi M_0} - 1 \right)}. \quad (30)$$

2.18 Схематический график зависимости показан на рисунке ниже.



|      | Содержание  | Баллы             |     |
|------|---|-------------------|-----|
| 2.1  | Формула (1): $PV^\gamma = const$  | 0.2               | 0.6 |
|      | Формула (2): $\eta = \left(\frac{P_A}{P_0}\right)^{\frac{1}{\gamma}}$   | 0.2               |     |
|      | Численное значение в формуле (2): $\eta = 0.177$  | 0.2               |     |
| 2.2  | Формула (3): $TV^{\gamma-1} = const$  | 0.2               | 0.6 |
|      | Формула (4): $T_0 = \frac{T_S}{\eta^{\gamma-1}}$  | 0.2               |     |
|      | Численное значение в формуле (4): $T_0 = 390^\circ C$   | 0.2               |     |
| 2.3  | Формула (6): $m_0 = M \frac{P_0 \eta V_0}{RT_S}$  | 0.2               | 0.4 |
|      | Численное значение в формуле (6): $m_0 = 2.30 \text{ г}$  | 0.2               |     |
| 2.4  | Формула (7): $A_{1-2} = P_0 \eta V_0$   | 0.2               | 1.0 |
|      | Формула (8): $A_{2-3} = P_0 V_0 \frac{\eta - \eta^\gamma}{\gamma - 1}$  | 0.2               |     |
|      | Формула (9): $A_{3-4} = -P_A V_0$   | 0.2               |     |
|      | Формула (10): $A_0 = P_0 V_0 \left( \eta + \frac{\eta - \eta^\gamma}{\gamma - 1} \right) - P_A V_0$   | 0.2               |     |
|      | Численное значение в формуле (10): $A_0 = 1.25 \cdot 10^3 \text{ Дж}$   | 0.2               |     |
| 2.5  | Формула (11): $v = \frac{V_0 \omega}{\pi}$  | 0.2               | 0.2 |
| 2.6  | Формула (12): $P_0 V_{in}^\gamma = PV^\gamma$   | 0.2               | 1.0 |
|      | Формула (13): $P_0 V_{in} = \frac{m}{M} RT_0$   | 0.2               |     |
|      | Формула (14): $P = P_0 \left( \frac{RT_0}{MP_0} \frac{m}{vt} \right)^\gamma$  | 0.2               |     |
|      | Формула (15): $\frac{dm}{dt} = KP_0 \left( 1 - \left( \frac{RT_0}{MP_0} \frac{m}{vt} \right)^\gamma \right)$  | 0.4               |     |
| 2.7  | Формула (16): $m \propto t$   | 0.4               | 0.6 |
|      | Ссылка на формулу (14) или (15)   | 0.2               |     |
| 2.8  | Формула (17): $m = K(P_0 - P)t$   | 0.2               | 0.6 |
|      | Формула (18): $P = P_0 \left( \frac{RT_0}{MP_0} \frac{\pi K(P_0 - P)}{V_0 \omega} \right)^\gamma$   | 0.4               |     |
| 2.9  | Формула (19): $P = \frac{P_0}{1 + \frac{MV_0 \omega}{\pi K RT_0}}$  | 0.2               | 0.2 |
| 2.10 | Численное значение в формуле (20): $P = 9.10 \cdot 10^5 \text{ Па}$   | 0.2               | 0.2 |
| 2.11 | Формула (21): $A = P_0 V_0 \frac{\eta + \frac{\eta - \eta^\gamma}{\gamma - 1}}{1 + \frac{MV_0 \omega}{\pi K RT_0}}$                                       | 0.2               | 1.0 |
|      | Формула (22): $A_0 = P_0 V_0 \left( \eta + \frac{\eta - \eta^\gamma}{\gamma - 1} \right)$   | 0.2               |     |
|      | Численное значение в формуле (22): $A_0 = 1.44 \cdot 10^3 \text{ Дж}$   | 0.2               |     |
|      | Формула (23): $\beta = \frac{MV_0}{\pi RT_0}$   | 0.2               |     |
|      | Численное значение в формуле (23): $\beta = 4.16 \cdot 10^{-9} \text{ м} \cdot \text{с}^2$  | 0.2               |     |
| 2.12 | Формула (24): $\frac{A_0}{1 + \beta \frac{\omega}{K}} = 2\pi M_0$   | 0.4               | 0.6 |
|      | Формула (25): $\omega = \frac{K}{\beta} \left( \frac{A_0}{2\pi M_0} - 1 \right)$  | 0.2               |     |
| 2.13 | Формула (26): $M_{0max} = \frac{A_0}{2\pi}$   | 0.4               | 0.6 |
|      | Численное значение в формуле (26): $M_{0max} = 230 \text{ Н} \cdot \text{м}$  | 0.2               |     |
| 2.14 | График:<br>обращается в ноль при превышении максимального момента<br>указан максимальный момент<br>монотонное возрастание при моменте, стремящемся к нулю | 0.1<br>0.1<br>0.2 | 0.4 |
| 2.15 | Формула (27): $mgl \sin \theta = m\omega^2 l^2 \sin \theta \cos \theta$   | 0.2               | 1.0 |

|              |   |                   |             |
|--------------|---|-------------------|-------------|
|              | Формула (28): $\cos \theta = 1$ , $\omega < \sqrt{\frac{g}{l}}$   | 0.4               |             |
|              | Формула (29): $\cos \theta = \frac{g}{\omega^2 l}$ , $\omega \geq \sqrt{\frac{g}{l}}$   | 0.4               |             |
| 2.16         | График:<br>есть горизонтальный участок<br>указано значение $K_0$ на горизонтальном участке<br>монотонное стремление к нулю при возрастании угловой скорости | 0.1<br>0.1<br>0.2 | <b>0.4</b>  |
| 2.17         | Формула (30): $\omega = \sqrt[3]{\frac{K_0 g}{\beta l} \left( \frac{A_0}{2\pi M_0} - 1 \right)}$  | 0.4               | <b>0.4</b>  |
| 2.18         | График:<br>есть точка излома<br>на первом участке убывает медленнее, чем на втором  | 0.1<br>0.1        | <b>0.2</b>  |
| <b>Итого</b> |   |                   | <b>10.0</b> |

### Задача 3. Электронный парамагнитный резонанс (10.0 баллов)

#### Магнитный момент

3.1 Площадь кругового витка радиуса  $R$  равна

$$S = \pi R^2 \quad (1)$$

и при протекании по нему тока  $I$  модуль его магнитного момента равен

$$m = I\pi R^2. \quad (2)$$

Магнитная индукция в центре кругового витка определяется выражением

$$B_0 = \frac{\mu_0 I}{2R}, \quad (3)$$

откуда следует, что

$$B_0 = \frac{\mu_0 m}{2\pi R^3}. \quad (4)$$

3.2 Если  $\mathbf{B}$  лежит в плоскости витка, то, анализируя пары сил Ампера, действующих на противоположные относительно вектора индукции магнитного поля элементы витка, можно показать, что модуль суммарного момента сил составляет

$$M = mB. \quad (5)$$

В общем случае магнитный момент  $\mathbf{m}$  образует с полем угол  $\varphi$ . Разложим  $\mathbf{B}$  на составляющие: одну в плоскости витка, а другую перпендикулярную ей. Очевидно, что перпендикулярная составляющая не создает момента сил, вызывая растяжение или сжатие витка, а так как проекция вектора  $B$  на плоскость витка составляет

$$B_{\parallel} = B \sin \varphi, \quad (6)$$

то модуль результирующего момента сил Ампера равен

$$M = mB \sin \varphi. \quad (7)$$

3.3 Элементарная работа  $dA$  при малом повороте витка на угол  $d\varphi$  равна

$$dA = M d\varphi. \quad (8)$$

При повороте витка от состояния, когда  $\mathbf{m} \uparrow\uparrow \mathbf{B}$ , до положения  $\mathbf{m} \uparrow\downarrow \mathbf{B}$ , угол изменяется от 0 до  $\pi$ , а полная работа определяется интегралом

$$A = \int_0^\pi M d\varphi = 2mB. \quad (9)$$

#### Электронный парамагнитный резонанс

3.4 Пусть электрон вращается по круговой орбите радиуса  $R$  с периодом  $T$ , тогда его движение можно представить как круговой ток силой

$$I = \frac{e}{T} \quad (10)$$

и магнитным моментом

$$m = I\pi R^2. \quad (11)$$

Момент импульса электрона при движении по круговой траектории со скоростью  $v$  равен

$$L = m_e v R, \quad (12)$$

откуда, принимая во внимание выражение для периода обращения

$$T = \frac{2\pi R}{v}, \quad (13)$$

получаем

$$g_L = 1. \quad (14)$$

В векторном соотношении между магнитным и механическим моментами необходимо учитывать знак в силу отрицательности заряда электрона.

**3.5** Согласно п. 3.3 для переворота спина необходимо совершить работу (9), что вместе с формулой в условии для магнитного момента дает

$$A = g_s B_0 \frac{e\hbar}{2m_e}, \quad (15)$$

которая совершается за счет энергии фотона

$$E = \hbar\omega, \quad (16)$$

то есть выполняется закон сохранения энергии

$$E = A. \quad (17)$$

Таким образом, используя  $g_s = 2g_L = 2$ , получаем

$$\omega = \frac{eB_0}{m_e} = 6.15 \cdot 10^{10} \text{ с}^{-1}, \quad (18)$$

что равно так называемой Лармировской циклической частоте вращения электрона в магнитном поле.

**3.6** В отсутствие сердечника магнитное поле в соленоиде пропорционально силе тока, то есть

$$B_0 \propto I_0, \quad (19)$$

а при наличии сердечника магнитное поле также пропорционально магнитной проницаемости вещества

$$B \propto \mu I. \quad (20)$$

Резонанс наступает при одинаковой величине магнитной индукции, поэтому

$$I = \frac{I_0}{\mu} = 1.2 \text{ А}. \quad (21)$$

### Термодинамическое равновесие

**3.7** В состоянии термодинамического равновесия распределение электронов в атоме по энергетическим уровням подчиняется распределению Больцмана, поэтому

$$\frac{N_2}{N_1} = \exp\left(-\frac{\hbar\omega}{k_B T}\right), \quad (22)$$

а с другой стороны полное число атомов известно и равно

$$N = N_1 + N_2. \quad (23)$$

Таким образом, из (22) и (23) получаем при условии  $\hbar\omega \ll k_B T$

$$n_0 = \frac{\hbar\omega}{2k_B T} N = 4.68 \cdot 10^{17}. \quad (24)$$

**3.8** В состоянии термодинамического равновесия скорости переходов вверх и вниз должны быть одинаковы, так как количество атомов на энергетических уровнях изменяться не должно, в частности для нижнего уровня имеем

$$\frac{dN_1}{dt} = -B_{12}\rho N_1 + A_{21}N_2 + B_{21}\rho N_2 = 0, \quad (25)$$

откуда для плотности энергии электромагнитного излучения получаем

$$\rho = \frac{A_{21}}{B_{21}\left(\frac{N_1 B_{12}}{N_2 B_{21}} - 1\right)}. \quad (26)$$

Учитывая соотношение (22) и сравнивая с формулой Планка, заключаем, что

$$B_{12} = B_{21}. \quad (27)$$

### Наличие внешнего источника микроволнового поля

**3.9** С учетом равенства коэффициентов Эйнштейна и пренебрежения спонтанными переходами, уравнение (25) переписывается в виде

$$\frac{dN_1}{dt} = -kN_1 + kN_2, \quad (28)$$

которое с учетом (23) дает

$$\frac{dn}{dt} = -2kn. \quad (29)$$

Используя начальное условие  $n(0) = n_0$ , получаем решение уравнения (29) в виде

$$n(t) = n_0 \exp(-2kt). \quad (30)$$

Интересно отметить, что под действием внешнего источника переменного поля с течением времени разность в количестве атомов на двух уровнях падает до нуля.

**3.10** Из формулы (30) следует, что

$$k = \frac{\ln 2}{2\tau}. \quad (31)$$

Так как при переходе каждого атома с нижнего уровня на верхний поглощается один квант энергии переменного поля  $\hbar\omega$ , а при каждом обратном переходе такая же энергия выделяется, то выражение, описывающее поглощение энергии  $E$  переменного поля в сердечнике имеет вид

$$\frac{dE}{dt} = kn\hbar\omega, \quad (32)$$

а это означает, что в начальный момент времени мощность источника равна

$$P = \frac{dE}{dt}(0) = \frac{n_0\hbar\omega\ln 2}{2\tau} = 1.05 \text{ мВт}. \quad (33)$$

**3.11** Рассмотрим случай отсутствия внешнего поля, тогда приведенное в условии уравнение для уровня 1 переписывается в виде

$$\frac{dn}{dt} = N(\alpha_2 - \alpha_1) - n(\alpha_1 + \alpha_2). \quad (34)$$

Поскольку уравнение (34) должно включать в себя условие термодинамического равновесия, то при обращении слева производной в ноль равновесная концентрация должна быть равна  $n_0$ , откуда следует, что

$$N = n_0 \frac{(\alpha_1 + \alpha_2)}{(\alpha_2 - \alpha_1)}. \quad (35)$$

Подставляя (35) в (34) и добавляя член из (29), получаем уравнение для с учетом наличия переменного поля

$$\frac{dn}{dt} = -2kn - (n - n_0)(\alpha_1 + \alpha_2). \quad (36)$$

Так как требуется определить мощность источника в стационарном режиме, то и разность в числе атомов на нижнем и верхнем уровне должна быть постоянной, то есть  $dn/dt = 0$ , откуда следует

$$n = \frac{n_0}{1 + \frac{2k}{(\alpha_1 + \alpha_2)}}. \quad (37)$$

Мощность источника по-прежнему определяется уравнением (42) и с учетом того, что  $2k \gg (\alpha_1 + \alpha_2)$ , окончательно получаем

$$P = \frac{1}{2}n_0\hbar\omega(\alpha_1 + \alpha_2) = 1.01 \text{ мкВт}. \quad (38)$$

Обратите внимание, что в отличие от 3.10 мощность источника не зависит от плотности энергии электромагнитного поля, это так называемый режим насыщения.

|            | Содержание                                    | Баллы      |
|------------|---|------------|
| <b>3.1</b> | Формула (1): $S = \pi R^2$                    | 0.2        |
|            | Формула (2): $m = I\pi R^2$                   | 0.2        |
|            | Формула (3): $B_0 = \frac{\mu_0 I}{2R}$       | 0.2        |
|            | Формула (4): $B_0 = \frac{\mu_0 m}{2\pi R^3}$ | 0.2        |
| <b>3.2</b> | Формула (5): $M = mB$                         | 0.2        |
|            | Формула (6): $B_{  } = B \sin \varphi$        | 0.2        |
|            | Формула (7): $M = mB \sin \varphi$            | 0.2        |
| <b>3.3</b> | Формула (8): $dA = M d\varphi$                | 0.2        |
|            | Формула (9): $A = 2mB$                        | 0.2        |
| <b>3.4</b> | Формула (10): $I = \frac{e}{T}$               | 0.2        |
|            | Формула (11): $m = I\pi R^2$                  | 0.2        |
|            | Формула (12): $L = m_e v R$                   | 0.2        |
|            | Формула (13): $T = \frac{2\pi R}{v}$          | 0.2        |
|            | Формула (14): $g_L = 2$                       | 0.2        |
|            |   | <b>0.8</b> |
|            |   | <b>0.6</b> |
|            |   | <b>0.4</b> |
|            |   | <b>1.0</b> |

|              |  |     |             |
|--------------|--|-----|-------------|
| 3.5          | Формула (15): $A = g_s B_0 \frac{e\hbar}{2m_e}$  | 0.2 | 1.0         |
|              | Формула (16): $E = \hbar\omega$  | 0.2 |             |
|              | Формула (17): $E = A$  | 0.2 |             |
|              | Формула (18): $\omega = \frac{eB_0}{m_e}$  | 0.2 |             |
|              | Численное значение в формуле (18): $\omega = 6.15 \cdot 10^{10} \text{ с}^{-1}$            | 0.2 |             |
| 3.6          | Формула (19): $B_0 \propto I_0$  | 0.2 | 0.8         |
|              | Формула (20): $B \propto \mu I$  | 0.2 |             |
|              | Формула (21): $I = \frac{I_0}{\mu}$  | 0.2 |             |
|              | Численное значение в формуле (21): $I = 1.2 \text{ А}$                                     | 0.2 |             |
| 3.7          | Формула (22): $\frac{N_2}{N_1} = \exp\left(-\frac{\hbar\omega}{k_B T}\right)$              | 0.2 | 1.0         |
|              | Формула (23): $N = N_1 + N_2$  | 0.2 |             |
|              | Формула (24): $n_0 = \frac{\hbar\omega}{2k_B T} N$   | 0.3 |             |
|              | Численное значение в формуле (24): $n_0 = 4.68 \cdot 10^{17}$                              | 0.3 |             |
| 3.8          | Формула (25): $-B_{12}\rho N_1 + A_{21}N_2 + B_{21}\rho N_2 = 0$                           | 0.4 | 1.0         |
|              | Формула (26): $\rho = \frac{A_{21}}{B_{21}\left(\frac{N_1 B_{12}}{N_2 B_{21}} - 1\right)}$ | 0.4 |             |
|              | Использование формулы (22)   | 0.2 |             |
| 3.9          | Формула (28): $\frac{dN_1}{dt} = -kN_1 + kN_2$   | 0.2 | 0.6         |
|              | Формула (29): $\frac{dn}{dt} = -2kn$   | 0.2 |             |
|              | Формула (30): $n(t) = n_0 \exp(-2kt)$  | 0.2 |             |
| 3.10         | Формула (31): $k = \frac{\ln 2}{2\tau}$  | 0.2 | 0.8         |
|              | Формула (32): $\frac{dE}{dt} = kn\hbar\omega$  | 0.2 |             |
|              | Формула (33): $P = \frac{n_0 \hbar \omega \ln 2}{2\tau}$                                   | 0.2 |             |
|              | Численное значение в формуле (33): $P = 1.05 \text{ мВт}$                                  | 0.2 |             |
| 3.11         | Формула (34): $\frac{dn}{dt} = N(\alpha_2 - \alpha_1) - n(\alpha_1 + \alpha_2)$            | 0.3 | 2.0         |
|              | Формула (35): $N = n_0 \frac{(\alpha_1 + \alpha_2)}{(\alpha_2 - \alpha_1)}$                | 0.3 |             |
|              | Формула (36): $\frac{dn}{dt} = -2kn - (n - n_0)(\alpha_1 + \alpha_2)$                      | 0.3 |             |
|              | Формула (37): $n = \frac{n_0}{1 + \frac{2k}{(\alpha_1 + \alpha_2)}}$                       | 0.3 |             |
|              | Формула (38): $P = \frac{1}{2} n_0 \hbar \omega (\alpha_1 + \alpha_2)$                     | 0.3 |             |
|              | Численное значение в формуле (38): $P = 1.01 \text{ мкВт}$                                 | 0.5 |             |
| <b>Итого</b> |  |     | <b>10.0</b> |